

## モルタル、コンクリートの等価回路に関する一考察

(株)熊谷組  
東電設計(株)  
早稲田大学理工学部

正会員  
正会員  
正会員

梶好延  
金子雄一  
関博

### 1.はじめに

本研究では、W/Cを0.4,0.5,0.6としたセメントペースト、モルタル、コンクリートの比抵抗を測定し、既往の実験式であるHinrichson-Rasch式<sup>1)</sup>、Archieの一般式<sup>2)</sup>の適用性を検討するとともに、井上ら<sup>3)</sup>により提案された等価回路の妥当性について考察を加えた。

### 2.実験方法

表1は、コンクリート、モルタル供試体の配合、ペースト成分の体積率（これを含有ペースト占有率 $\psi$ とする）等について示したものである。W/C=0.4,0.5,0.6の3種類とし、供試体種別を表す記号中の添字A,B,C,Dごとに、水、セメント、空気量の体積の比率をほぼ一定とした。さらに、W/C=0.4,0.5,0.6のセメントペースト供試体を作成し、それぞれをP4,P5,P6とした。

供試体は全てφ5×h10cmの形状で、3ヶ月以上の水

中養生を行なった後、φ5×h5cmに湿式切断して、温度が20,35,50°Cの環境に1週間水中浸漬したまま静置した。

比抵抗は、最大電圧10mV、周波数範囲1~100000Hzの交流を供試体に印加し、周波数が1000Hzでのインピーダンスの実数成分を抵抗として算出した。

### 3.実験結果及び考察

コンクリートあるいはモルタルの比抵抗を $\rho_{cm}$ 、セメントペーストの比抵抗 $\rho_p$ とした場合、環境温度T[K]と比抵抗 $\rho_{cm}$ あるいは $\rho_p$ との間に(1)式の関係があり、Hinrichson-Rasch式<sup>1)</sup>として知られている。ただし、 $a_{cm}$ , $a_p$ , $b_{cm}$ , $b_p$ は定数である。

$$\ln \rho_{cm} = \frac{a_{cm}}{T} + b_{cm} \quad \ln \rho_p = \frac{a_p}{T} + b_p \quad (1)$$

図1は本実験結果に(1)式を適用した一例として、C6A-1供試体の場合について示したものである。相関係数は0.99と非常に良好であり、他の供試体種別についても相関係数が0.95~1.00と非常に良好な結果が得られた。

また、Whittingtonら<sup>2)</sup>によると、コンクリートあるいはモルタルの比抵抗 $\rho_{cm}$ をW/C及び養生条件が同一のセメントペーストの比抵抗 $\rho_p$ で除した値をFとした場合、Archieの一般式と呼ばれる(2)式が成立するとしている。ただし、A,mは定数である。

$$F = \frac{\rho_{cm}}{\rho_p} = A \psi^{-m} \quad (2)$$

図2は、(2)式を本実験結果に対してW/C別、環境温度別に適用した一例として、W/C=0.6、環境温度20°Cの場合を示したものである。相関係数は0.94と良好であり、他の場合についても相関係数が0.94~1.00と良好な結果が得られた。

井上ら<sup>3)</sup>は、モルタルあるいはコンクリートの導電経路を図3によってモデル化し、(3)式を提案している。

$$\frac{1}{R_{cm}} = \frac{1}{R_{pcm} + R_{ag}} \Rightarrow \frac{\rho_{cm}}{\rho_p} = \frac{k}{\psi} \quad (3)$$

ここで、kはペースト比抵抗係数と呼ばれる定数で、モルタルあるいはコンクリート中に含まれる含有ペーストの細孔構造が、セメントペースト単味の細孔構造とは異なることに起因する定数である。

供試体種別	アラブ' (cm)	フロ' (cm)	空気量 (%)	W/C (%)	単位量 (kg/m³)			AE剤	減水剤	含有ペースト占有率 (%)	備考	
					V	C	S					
C6A-1	10.0	-	7.0	60	173	290	873	853	69	725	0.336	コントロール
C6A-2	17.0	-	7.8	60	193	323	974	653	76	808	0.374	コントロール
C6A-3	3.5	-	6.3	60	152	257	774	1053	170	1928	0.298	コントロール
M6a	-	26.6	10.3	60	259	432	1298	-	102	1080	0.499	モルタル
M6b-1	-	16.0	5.5	60	236	395	1518	-	107	988	0.416	モルタル
M6b-2	-	21.8	5.7	60	259	433	1422	-	117	1083	0.453	モルタル
M6b-3	-	27.3	6.1	60	282	468	1318	-	126	1170	0.491	モルタル
C5c	10.0	-	7.0	50	161	326	873	853	169	1630	0.336	コントロール
M5c	-	25.6	10.3	50	241	488	1292	-	253	2440	0.501	モルタル
C4b	10.0	-	7.0	40	145	370	873	853	210	2467	0.336	コントロール
M4b	-	22.2	10.5	40	215	550	1298	-	312	3667	0.374	モルタル

\* C6A-3,C5c,M5c,C4b,M4bでの減水剤は、高性能減水剤を使用。

\* フラットの粗骨材最大寸法は15mm。

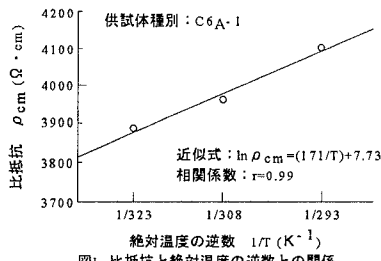


図1 比抵抗と絶対温度の逆数との関係

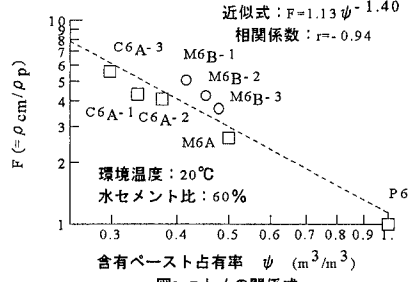


図2 Fとψの関係式

(3)式を変形した以下の式、

$$k = \psi \frac{\rho_{cm}}{\rho_p} \quad (4)$$

によって得られるペースト比抵抗係数を  $k_0$  とし、(2)式と(3)式を組み合わせて得られる以下の式、

$$k = A \psi^{1-m} \quad (5)$$

によって得られるペースト比抵抗係数を  $k_1$  として、さらに、(1)式と(3)式組み合わせて得られる以下の式、

$$k = \psi \exp\left(\frac{a_{cm} - a_p}{T} + (b_{cm} - b_p)\right) \quad (6)$$

によって得られるペースト比抵抗係数を  $k_2$  とした場合、(3)式が妥当であるならば、 $k_0, k_1, k_2$  は同一の値となるはずである。井上ら<sup>3)</sup>によって、W/C=0.6 のモルタルについては(3)式が妥当であることが明らかとなっているが、本研究では W/C=0.6 のコンクリート及び W/C=0.4, 0.5 のモルタル、コンクリートについてもその妥当性を検討した。

図4及び図5は、本実験結果における  $k_0$  と  $k_2$  及び  $k_1$  と  $k_2$  の関係について示したものである。図4より明らかに  $k_0=k_2$  であるが、図5より  $k_1$  と  $k_2$  の相関係数が 0.70 となっている。これは、3ヶ月以上にわたる水中養生によって供試体内部の気泡が空隙水によって満たされ、導電経路として作用するためと思われる。従って、(2)式を適用する際には、W/C 及び環境温度の違いだけでなく、含有ペーストと空気量の体積の比率をも考慮する必要があると考えられる。

図6は、W/C 別、環境温度別、空気量の設定別に(2)式を適用した一例として、図2を描き直したものであり、 $k_1$  と  $k_2$  の関係として図7を得た。図7での相関係数が 0.99 となったことから、(3)式の妥当性が示されたとともに、飽水状態のセメント硬化体に(2)式を適用する際には、W/C、環境温度だけでなく、空気量を考慮することが必要と思われる。

#### 4.まとめ

本実験の範囲では以下のことが明らかになったと思われる。

- ① コンクリート、モルタル、セメントペーストに対して Hinrichson-Rasch 式が適用出来る。
- ② コンクリート、モルタル、セメントペーストに対して Archie の一般式が適用出来る。その際、W/C、環境温度だけでなく空気量をも考慮する必要がある。
- ③ コンクリート、モルタルの導電経路は含有ペーストと骨材の並列回路で表すことが出来る。

#### 〈謝辞〉

本実験を行うにあたり、三菱マテリアル(株)中央研究所の方々、市沢泰之氏(東京工業大学大学院)、西澤正浩氏(早稲田大学理工学部)に御協力を頂いた。ここに感謝の意を表する次第である。

#### 〈参考文献〉

- 1) E.Hammond and T.D.Robson : Comparison of Electrical Properties of Various Cements and Concretes, THE ENGINEER, Vol.199, No.28, January 1955, pp.114~115
- 2) H.W.Whittington et al. : The conduction of electricity of concrete, Magazine of Concrete Research, Vol.33, No.14, March 1981, pp.48~60
- 3) 井上勝伸、関 博、金子雄一:等価回路を使ったモルタルの導電経路に関する一考察、土木学会第48回年次学術講演会論文集第5部、1993年9月、pp.984~985

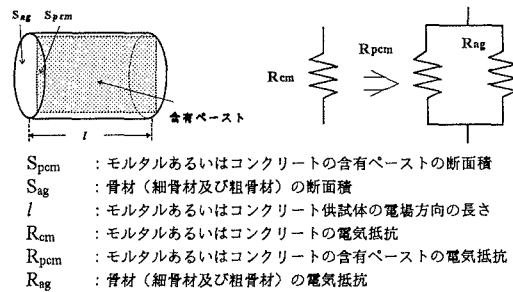
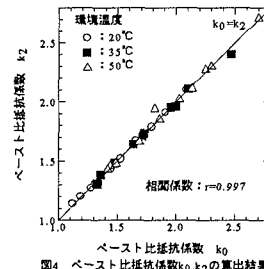
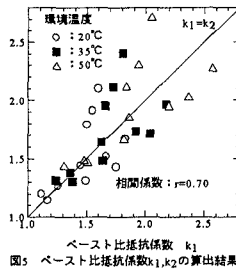
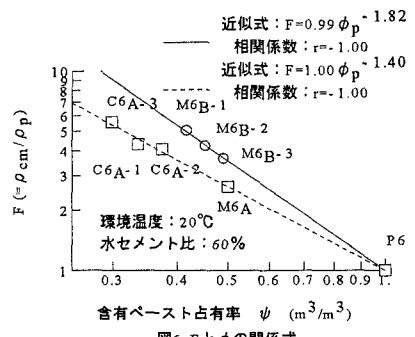
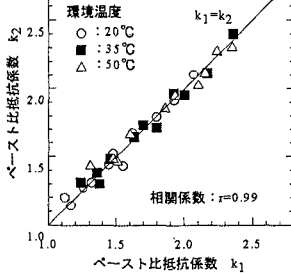


図3 導電経路のモデル化

図4 ベースト比抵抗係数  $k_0$  と  $k_2$  の算出結果図5 ベースト比抵抗係数  $k_1, k_2$  の算出結果図6  $F$  と  $\phi$  の関係式図7 ベースト比抵抗係数  $k_1, k_2$  の算出結果